



IRANIAN SOCIETY of
CRYSTALLOGRAPHY
and MINERALOGY

Vol. 17, No. 4, Winter 1388/2010

IRANIAN JOURNAL of
CRYSTALLOGRAPHY
and MINERALOGY

Dolomitization and evaporate mineralization of Sachun Formation at type locality (SE Shiraz)

R. Shabafrooz, A. Mahboubi*, R. Moussavi-Harami

Department of Geology, Faculty of Sciences, Ferdowsi University of Mashhad, Iran

(Received: 19/4/2009, in revised form: 1/7/2009)

Abstract: The Sachun Formation (Paleocene-Lower Eocene) is mainly composed of carbonates and evaporates that were deposited in shallow-marine evaporitic mudflat environments. The Sachun Formation in the study area has been divided into three units including: lower evaporate; middle bioclastic limestone and upper evaporate. It is mainly composed of diagenetic gypsum, which originated from dehydration of anhydrite precursor. This gypsum in the Sachun Formation generally displays alabastrine and porphyroblastic textures with corroded anhydrite relics. Petrological studies reveal that the most important diagenetic processes affected the middle Part of the Sachun Formation are dolomitization and evaporate mineralization. Four types of dolomite, ranging from early to burial diagenetic environments, were identified. These are including very fine-to-fine crystalline (D_1), neomorphic dolomite (D_2), fine-to-medium crystalline euhedral to subhedral dolomite (D_3) and pore- and fracture-filling dolomite (D_4).

Keywords: gypsum, anhydrite, alabastrine, porphyroblastic, dolomite, Sachun Formation.



دولومیتی شدن و کانی‌زایی تبخیری‌های سازند ساچون در برش الگو (جنوب شرق شیراز)

روح‌الله‌شب‌افروز، اسدالله‌محبوبی*، رضا‌موسوي‌حرمي

گروه زمین‌شناسی، دانشکده علوم، دانشگاه فردوسی مشهد

(دریافت مقاله: ۸۸/۱/۳۱، نسخه نهایی: ۸۸/۴/۱۱)

چکیده: سازند ساچون (پالثوسن-ائوسن پایینی) متشکل از کربنات‌ها و تبخیری‌هایی است که در شرایط دریایی کم عمق و ساحلی سبخا نهشته شده‌اند. سازند ساچون در ناحیه مورد بررسی از سه بخش تبخیری زیرین، سنگ آهک بیوکلاستی میانی و تبخیری بالای تشکیل شده است. واحد تبخیری زیرین و بالایی بیشتر از ژیپس‌های ثانویه حاصل از دیاژنز انیدریت-ژیپس تشکیل شده است. ژیپس‌های ثانویه بیشتر دارای بافت آلباستری و پورفیروبلاستی به همراه آثار باقیمانده از بلورهای انیدریت هستند. بررسی سنگ‌شناختی نمونه‌های بخش میانی سازند ساچون در این منطقه نشان می‌دهد که مهم‌ترین فرایندهای تاثیر گذار، دولومیتی شدن و کانی‌زایی تبخیری است. بر مبنای بررسی‌های سنگ‌شناختی و ژئوشیمیائی چهار نوع دولومیت اولیه تا مراحل دفنی کم عمق شامل دولومیت خیلی ریز تا ریز (نوع یک)، نئومورفیک (نوع دوم)، لوزی رخ‌های شکل‌دار و مسطح در اندازه ریز تا متوسط (نوع سوم) و دولومیت پر کننده حفره‌ها و شکستگی‌ها (نوع چهارم) از یکدیگر تفکیک شده‌اند.

واژه‌های کلیدی: ژیپس، انیدریت، آلباستری، پورفیروبلاستی، دولومیت، سازند ساچون.

مارنی و مارن سرخ رنگ است. مرز پایینی آن با دولومیت و سنگ آهک‌های روئیستی سازند تاربور به صورت همساز (Conformable) و ناگهانی (Sharp) است که با یک افق خاک دیرینه (Paleosoil) مشاهده شده است (شکل ۱، B و C). مرز بالایی ساچون با سازند جهرم نیز همساز و ناگهانی است [۱].

هدف از این بررسی تفکیک انواع دولومیت و شناسایی ساز و کار تشکیل آن‌ها و ارتباطشان با واحدهای تبخیری سازند ساچون در برش الگو است.

روش بررسی

به منظور شناسایی ساز و کار تشکیل دولومیت‌های بخش میانی سازند ساچون به ضخامت ۳۰۱ متر در برش الگو، تعداد ۲۷۵ نمونه به‌فواصل یک تا سه متری برداشت شده‌اند. برای تشخیص

مقدمه

نهشته‌های تبخیری-کربناتی سازند ساچون به‌طور ناپیوسته در بالای سنگ آهک‌های سازند تاربور و در زیر کربنات‌های جهرم قرار گرفته و معرف محیط‌های کنار قاره‌ای مزوژوئیک-سنوزوئیک، به‌ویژه در نواحی فارس داخلی است. سازند ساچون (پالثوسن-ائوسن پایینی) در ناحیه مورد بررسی از سه بخش تبخیری زیرین، سنگ آهک‌های بیوکلاستی میانی و تبخیری بالایی تشکیل شده است. واحدهای زیرین و بالایی حاوی میان‌لایه‌های نازک دولومیتی و سنگ آهک‌های به‌شدت دولومیتی شده است.

برش الگوی سازند ساچون در نزدیکی روستای ساچون (۲۵ کیلومتری جنوب داراب)، ۹۴۶ متر ضخامت دارد (شکل ۱، A و B) و بیشتر شامل ژیپس، دولومیت، سنگ آهک‌های

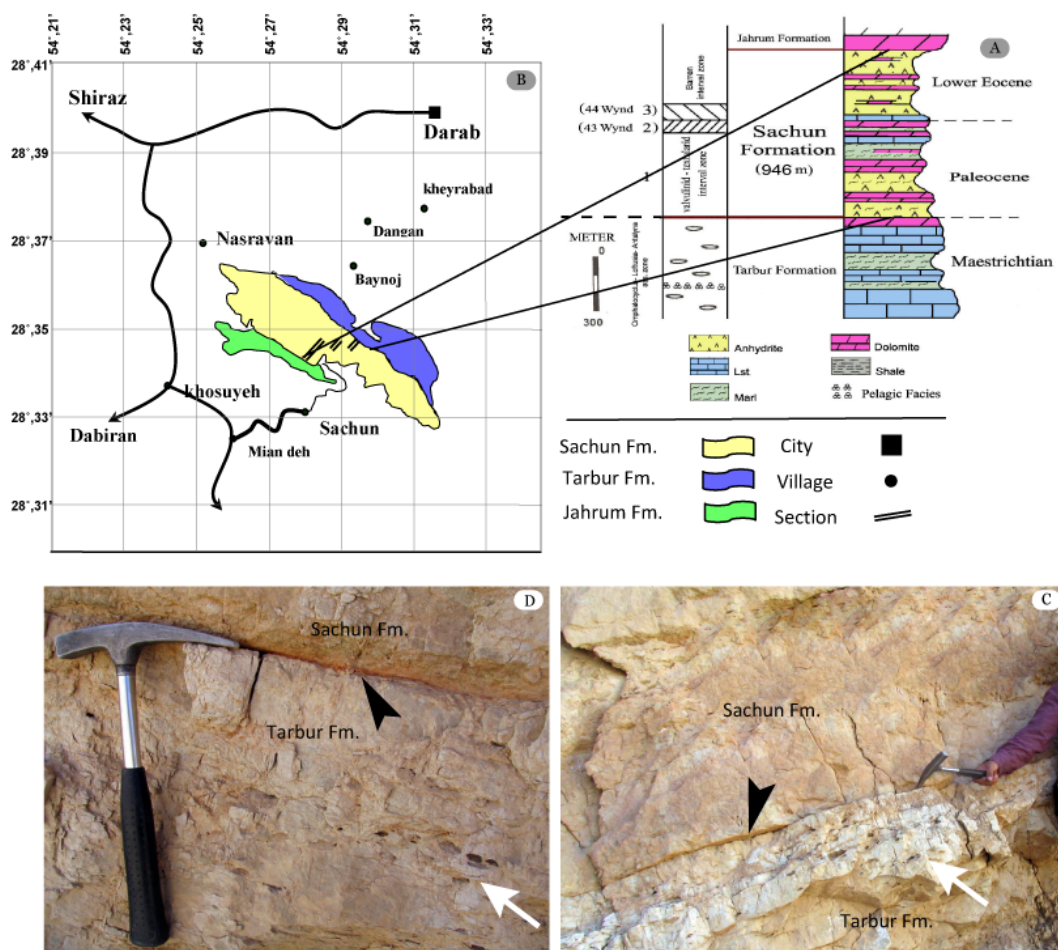
*نویسنده مسئول، تلفن: ۰۵۱۱۸۷۹۷۷۷۵، نامابر: ۰۵۱۱۸۷۹۷۷۷۵، پست الکترونیکی: amahboobi2001@yahoo.com

مختلف (مخلوط آب‌های متئوریکی و دریایی، آب دریا و آب‌های بسیار شور) تشکیل شود [۳]. بنابر بررسی‌های انجام شده معلوم شد که اگر زمان، دما و میزان شاره‌های دولومیت ساز کافی و مناسب باشد طیف گستره‌های از انواع دولومیت‌ها تشکیل می‌شوند [۴]. بر مبنای اندازه و شکل مرز بلورها می‌توان انواع دولومیت‌ها را در مقاطع نازک سازند ساچون تشخیص داد. دولومیت‌ها را در مقاطع نازک سازند ساچون تشخیص داد. سیبیلی و گرگ [۵] معتقدند دولومیت‌های یک اندازه (تک مدی) درنتیجه توزیع یکنواخت مکان‌های هسته سازی همراه با رشد همگن بلورها حاصل شده‌اند، در حالی که دولومیت‌های با اندازه‌های متفاوت (چند مدی) به توزیع ناهمگن مکان‌های هسته سازی، هسته سازی چند مرحله‌ای و یا تغییر در میزان رشد بلورها نسبت داده شده‌اند. بر مبنای بررسی‌های سنگ‌شناختی چهار نوع دولومیت در سازند ساچون از یکدیگر تفکیک شدند:

کلسیت از دولومیت مقاطع نازک با محلول آلیزارین به روش دیکسون [۲] رنگ آمیزی شدند. پس از بررسی سنگ‌شناختی اولیه تعداد ۱۹ نمونه به منظور تعیین عناصر آهن، منگنز، سدیم، استرانسیم و منیزیم، دولومیت‌های نوع یک (D_1) و دو (D_2)، در آزمایشگاه شیمی دانشگاه فردوسی مشهد با طیف سنج جذب اتمی آنالیز شدند. ۵۰ نمونه از مقاطع نازک نیز با میکروسکوپ کاتدولومینسانس بررسی شدند. میکروسکوپ Technosyn Cold مورد استفاده در این کار پژوهشی از نوع Torr (Torr) مدل 8200 Km3 ۱۲ کیلوولت و شدت جریان ۱۸۰ تا ۱۹۵ میلی آمپر مورد استفاده قرار گرفت.

سنگ‌شناختی دولومیتها

دولومیت می‌تواند در بیشتر مراحل دیاژنز، یعنی بلافارسله پس از تهنشینی تا دفن عمیق، از آب‌های با ترکیب شیمیابی

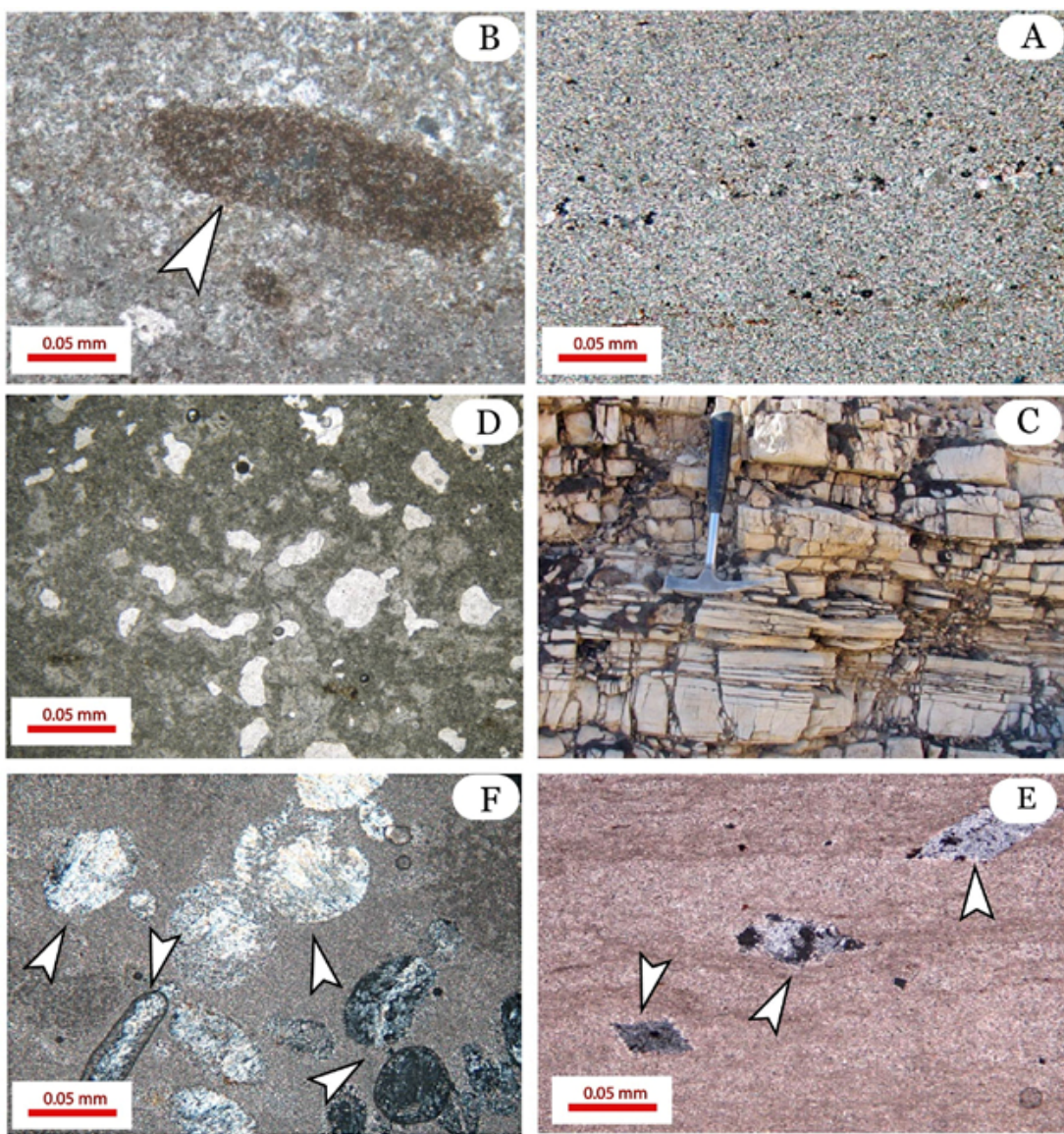


شکل ۱ (A)، ستون چینه‌شناسی خلاصه شده (امیری بختیار و همکاران، ۱۳۸۵) (B) نقشه موقعیت جغرافیایی سازند ساچون در برش مورد بررسی، (D) تصاویری از مرز زیرین سازند ساچون به صورت ناپیوسته با سازند تاربور با حضور افقی از خاک قدیمی (فلش مشکی)، به گسترش فرایند اتحال در زیر این افق توجه شود (پیکان سفید).

فسیل‌اند (شکل ۲، A) و اغلب دارای آثاری از بافت‌های اولیه نظیر اینتراکلاست (شکل ۲، B) و لامیناسیون هستند (شکل ۲، C). از دیگر ویژگی‌های این دولومیت‌ها می‌توان به وجود بافت نرده‌ای (شکل ۲، D)، بلورهای تبخیری به صورت منفرد (شکل ۲، E)، گرهک‌های ریز تبخیری (شکل ۲، F) و ترک گلی اشاره کرد.

دولومیت‌های نوع اول (D₁)

این نوع دولومیت به صورت موzaïek‌های یک اندازه (تک مدلی) به صورت بلورهای خیلی ریز تا ریزند و براساس رده‌بندی گرگ و سیبلی [۵] از نوع صفحه‌ای (Planar) و دمای پائین هستند. اندازه بلورها کمتر از ۵۰ میکرون است و بسیار متراکم، خاکستری، حاوی ذرات ریز کوارتز در اندازه سیلت و فاقد

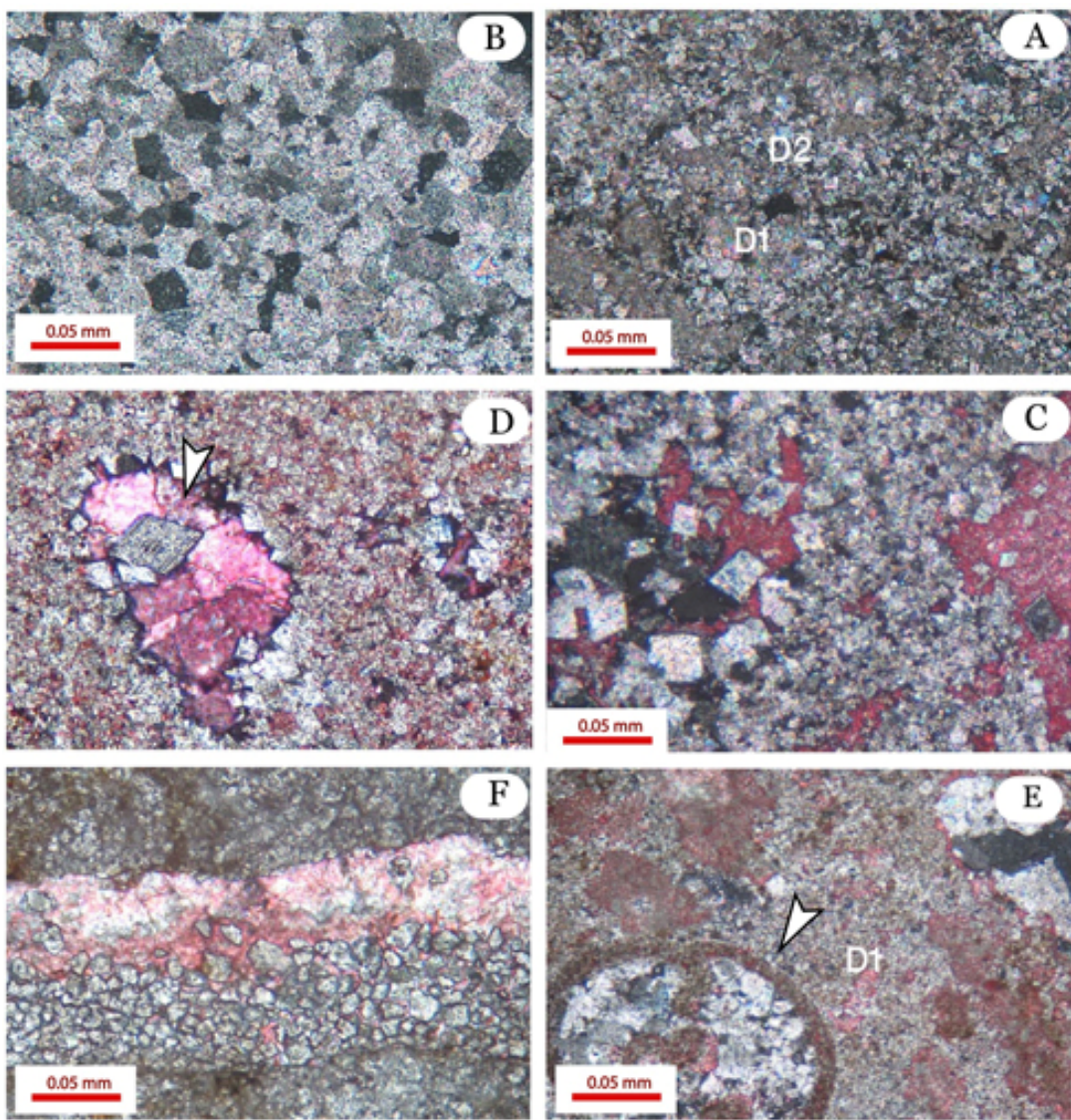


شکل ۲ تصاویر دولومیت نوع یک (D₁).

(A) دولومیت‌های خیلی ریز تا ریزند همراه با دانه‌های پراکنده‌ای از کوارتز در اندازه سیلت (XPL)، (B) تصویر اینتراکلاست (فلش) دولومیتی در دولومیت نوع یک (XPL) (C) دولومیت نوع یک به صورت لامیناسیون‌های نازک، ضخامت آن‌ها گاه به ۲ متر می‌رسد، (D) رخساره دولستونی با بافت نرده‌بانی (XPL)، (E) تصویری از اشکال دروغین ژیپس (فلش) در دولومیت نوع یک (XPL)، (F) پراکنده‌ی ندولهای ژیپس با بافت آلاپاستری (فلش) در دولومیت نوع یک (XPL).

A دارد که تحت تاثیر شرایط نوریختی قرار گرفته‌اند (شکل ۳) و (B). این نوع دولومیت (D_2) نتیجه تبلور دوباره دولومیت‌های است که نزدیک به سطح زمین (D_1) تشکیل شده‌اند. همراه این نوع دولومیت (D_2)، کانی‌های تبخیری به‌طور پراکنده به صورت‌های پرکننده حفره‌ها، شکستگی‌ها و نیز جانشینی دیده می‌شوند.

دولومیت‌های نوع دوم (D_2)
این دولومیت‌ها، شکل‌دار تا نیمه شکل‌دارند و اندازه بلورها از ۳۰۰ تا ۴۰۰ میکرون در تغییر است. اغلب مرز بلورها مسطح است و با توجه به رده‌بندی سیبلی و گرگ [۵] از نوع Planar-e و Planar-s هستند. بلورهای این نوع دولومیت بیشتر به صورت نوریختی است و بافت آن‌ها به سنگ آهک‌هایی شباهت



شکل ۳ تصاویر میکروسکوپی از فرایند دولومیتی شدن در سازند ساچون (تمام مقاطع با محلول آلیزارین رنگ آمیزی شده‌اند).
A-تصویر دولومیت نئومرفیک (نوع دوم) نیمه شکل‌دار (D_2) و دولومیت نوع یک (D_1) در کنار هم (XPL)، B-تصویر دولومیت نئومرفیک (نوع دوم) نیمه شکل‌دار (D_2) (XPL)، C-تصویر از جانشینی میکریت توسط بلورهای ریز دولومیت (نوع سوم) که هنوز بخشی از میکریت در بین بلورهای دولومیت دیده می‌شود (XPL)، D-تصویر بلورهای نیمه شکل‌دار دولومیت پرکننده حفره (نوع چهارم) در سیمان کلسیتی (فلش)، به گوشه‌های دولومیت در مجاورت حفره پر شده با سیمان کلسیتی توجه شود (فلش) (XPL)، E-بلورهای نیمه شکل‌دار دولومیت (نوع چهارم) که جانشین قطعات فسیلی شده است (PPL)، F-بلورهای شکل‌دار دولومیت (نوع چهارم) که در داخل شکستگی تشکیل شده‌اند. به گوشه‌های دولومیت در مجاورت حفره پر شده با سیمان کلسیتی توجه شود (XPL).

(شکل ۳، E) و نیز روزنها و شکستگی‌های موجود در دولومیت‌های ریز بلور قبلی را پر کرده است. بلورهای نسبتاً درشت‌تر با شکل منظم بیشتر پیرامون روزنها و شکستگی‌های دیده می‌شوند (شکل ۳، F). این دولومیت‌ها بیشتر رخساره‌های لاغونی به سمت ساحل و بخشی از رخساره‌های سدی مشاهده می‌شوند و از سمت رخساره‌های ساحلی به بخش‌های عمیق‌تر لاغون از شدت دولومیتی شدن کاسته شده است.

ژئوشیمی دولومیت‌ها

برای شناخت خاستگاه آبگون‌های دولومیتزا و فایندهای دولومیتی شدن، تعیین عناصر اصلی و فرعی و بررسی‌های ایزوتوپی دولومیت‌ها می‌تواند کمک موثری بنماید. در این زمینه بررسی‌هایی توسط مازولا [۴]، ال آسم [۶]، آدابی [۷] و محبوبی و همکاران [۸، ۹] انجام شده است تا بتوان خاستگاه دولومیت‌های اولیه و ثانویه، زمان دولومیتی شدن، ترکیب شاره‌های دولومیت ساز و مدل‌های دولومیتی شدن را مشخص کنند. به دلیل اینکه تنها در دولومیت‌های متوسط و درشت دانه می‌توان بر اساس شواهد سنگ‌شناختی دولومیت‌های اولیه را از ثانویه تشخیص داد. لذا در این کار پژوهشی، با توجه به شbahت دولومیت‌های نوع یک (D1) و نوع دو (D2) از نظر اندازه بلور، سعی شده تا از روش آنالیز عنصری برای جدایش هر چه بهتر آن‌ها استفاده شود، که نتایج آن به شرح زیراند (جدول ۱-).

دولومیت‌های نوع سوم (D₃)

این نوع دولومیت به صورت لوزی رخ‌های شکل دار و مسطح [۵] در اندازه ریز تا متوسط‌اند (بین ۱۰۰ تا ۲۰۰ میکرون). در برخی از نمونه‌ها بلورها بین ماتریکس میکریتی شناور است (شکل D&C, ۳) و در برخی دیگر نیز درون سیمانی از کلسیت اسپاری شناور بوده و بافت پویکیلوتابیک را به وجود می‌آورند. این نوع دولومیت در سازند ساقچون، در رخساره‌های گل آهکی ساحلی و رخساره‌های پکستونی لاغون به سمت سبخا، به وفور مشاهده می‌شود، و از آنجا که قطعات فسیلی کمتر تحت تأثیر این نوع دولومیتی شدن قرار گرفته‌اند، به احتمال زیاد فرایند دولومیتی شدن ترجیحاً زمینه ریز دانه میکریتی را تحت تأثیر قرار داده و لوزی رخ‌های دولومیت شروع به رشد کرده‌اند. به‌نظر سیبلی و گرگ [۵] این نوع دولومیتی شدن در زمانی رخ می-دهد که محلول‌های دولومیت ساز هنوز به حد ابر اشباع نرسیده‌اند.

دولومیت‌های نوع چهارم (D₄)

این نوع دولومیت به دلیل داشتن بلورهای درشت به راحتی از طریق بررسی‌های سنگ‌شناختی قابل تشخیص‌اند. اندازه بلورها بین ۲۵۰ تا ۳۵۰ میکرون است. دولومیت‌های نوع چهارم از بلورهای شفاف و اغلب شکل دار با مرزهای مسطح تشکیل شده و به صورت سیمان پرکننده روزن‌ها (Planar-c) و گاه به-صورت جزئی جانشین بعضی از خرددهای اسکلتی شده

جدول ۱ نتایج آنالیز عنصری دولومیت‌های سازند ساقچون در برش الگو

| Sampel No | Dolomite | Fe(ppm) | Mn(ppm) | Sr(ppm) | Na(ppm) |
|-----------|----------|---------|---------|---------|---------|
| s-100 | D1 | ۵۸۰ | ۱۷ | ۲۴۰ | ۵۷۸۰ |
| s-198 | D1 | ۱۴۰۰ | ۲۵ | ۳۳۰ | ۵۰۰۰ |
| s-215 | D1 | ۳۷۰ | ۱۴ | ۱۱۰ | ۴۸۵۰ |
| s-214 | D1 | ۹۶۰ | ۲۲ | ۴۲۰ | ۷۵۷۰ |
| s-189 | D1 | ۳۷۰ | ۲۴ | ۳۷۰ | ۸۷۲۰ |
| s-202 | D1 | ۲۴۰ | ۱۶ | ۱۱۰ | ۱۶۸۰ |
| s-211 | D1 | ۳۰۰ | ۲ | ۲۵۰ | ۵۳۷۰ |
| s-188 | D1 | ۱۱۰۰ | ۴۳ | ۳۵۰ | ۳۳۵۰ |
| s-107 | D1 | ۱۳۰۰ | ۵۹ | ۱۴۰ | ۶۱۷۰ |
| s-102 | D1 | ۸۰۰ | ۱۸ | ۴۹۰ | ۵۶۰ |
| s-199 | D1 | ۱۱۰۰ | ۷ | ۳۰۰ | ۳۱۷۰ |
| s-181 | D1 | ۱۱۳۰ | ۵۷ | ۱۷۰ | ۶۱۵۰ |
| s-106 | D1 | ۶۷۰ | ۶۱ | ۸۹۰ | ۲۵۰ |
| s-220 | D1 | ۷۵۰ | ۱۲ | ۲۱۰ | ۴۱۲۰ |
| s-100 | D1 | ۹۶۰ | ۱۹ | ۲۴۰ | ۸۴۴۰ |
| s-122 | D2 | ۱۴۲۰ | ۱۸ | ۹۰ | ۴۵۰ |
| s-154 | D2 | ۱۳۸۰ | ۲۲ | ۱۰۰ | ۴۳۷۰ |
| s-163 | D2 | ۱۷۵۰ | ۶۸ | ۱۳۰ | ۳۱۸۰ |
| s-137 | D2 | ۱۲۰۱ | ۵۶ | ۱۴۰ | ۵۷۰ |

نتایج

مقدار سدیم در دولومیت‌های سازند ساچون بین ۲۵۰ تا ۸۷۲۰ پی‌پی‌ام (میانگین ۴۴۸۵ پی‌پی‌ام) و مقدار استرانسیم بین ۹۰ تا ۸۹۰ پی‌پی‌ام در تغییر است. میانگین استرانسیم در دولومیت‌های نوع اول (۳۰۸ پی‌پی‌ام) به مراتب بیشتر از دولومیت‌های نوع دوم (۱۱۵ پی‌پی‌ام) است. دامنه تغییرات آهن و منگنز در این دولومیت‌ها به ترتیب بین ۲۴۰ تا ۱۴۰۰ پی‌پی‌ام و ۲ تا ۶۸ پی‌پی‌ام است.

تفسیر

مقدار سدیم در دولومیت‌های عهد حاضر (خليج فارس) بین ۱۰۰ تا ۲۵۰۰ پی‌پی‌ام در نوسان است. ولی با گذشت زمان و قدمت دولومیت، مقدار سدیم آن همانند استرانسیم کم می‌شود [۱۰]. مقدار سدیم در دولومیت‌های سازند ساچون بین ۲۵۰ تا ۸۷۲۰ پی‌پی‌ام (میانگین ۴۴۸۵ پی‌پی‌ام) در تغییر است که این مقدار، از مقدار میانگین سدیم در دولومیت‌های سیخابی خليج فارس و خليج بافین با مقدار متوسط سدیم ۲۵۰۰ پی‌پی‌ام بسیار بالاتر است [۱۱].

ترکیب عناصر اصلی و فرعی در دولومیت‌ها به ترکیب شاره‌های دولومیتساز، ترکیب عنصری کانی‌های کربناتی که دولومیت جانشین آن‌ها می‌شود و ضریب توزیع عناصر در دولومیت بستگی دارد [۱۲، ۱۱]. ترکیب شاره‌های دولومیتساز به مقدار قابل توجهی تعیین کننده ترکیب عناصر اصلی و فرعی در دولومیت‌هاست. در آب‌های دریایی شور تا فوق العاده شور Mn و Fe مقدار Ca، Sr و Mg با، در حالی که مقدار Na و شاره‌های اکسایش و احیاء نیز می‌تواند ورود و یا عدم ورود عناصر آهن و منگنز را در ساختار دولومیت کنترل کند [۱۲].

سدیم از عناصری است که مقدار آن می‌تواند راهنمای خوبی برای تعیین سرنوشت دولومیت باشد. بررسی‌ها نشان داده است که ارتباط تنگاتنگی بین سدیم و درجه شوری شاره‌ها وجود دارد، لذا مقداری بالای سدیم در دولومیت‌های سازند ساچون (D) به دلیل شوری زیاد شاره‌های دولومیت ساز محیط سیخاست. همچنین با توجه به ویژگی‌های سنگ‌شناختی، احتمالاً این نوع دولومیت تحت شرایط سطحی، دمای

پایین و در محیط‌های ابرکشنندی تا بخش بالایی میان کشنندی تشکیل شده‌اند [۱۳].

استرانسیم نیز از عناصری است که در تعیین خاستگاه دولومیت می‌تواند نقش بسیار مهمی ایفا کند، چنانچه مقدار آن در دولومیت در حدود ۵۵۰ پی‌پی‌ام باشد موید خاستگاه دریایی است [۱۱]. در صورتی که از این مقدار بیشتر باشد، دولومیت حاصل تهشین شدن آب‌های با شوری بسیار بالاست [۱۴]. مقدار استرانسیم در دولومیت‌های عهد حاضر بین حدود ۱۵۰ تا ۳۵۰۰ پی‌پی‌ام در تغییر است [۱۱]. مقدار استرانسیم در دولومیت‌های باهاما [۱۵] پایین است زیرا تشکیل آن‌ها به محیط دریایی تا زون مخلوط نسبت داده شده است. در صورتی که در دولومیت‌های دریایی بافین و خليج فارس افزایش می‌یابد [۷]. مقدار استرانسیم، همانند سدیم، به ترکیب شاره‌های بستگی دارد. بنابراین دولومیت‌های زون مخلوط مقدادر کمتری استرانسیم و دولومیت‌های تشکیل شده در محیط‌های فوق العاده شور (سیخاب)، دارای مقدادر بالاتری استرانسیم نسبت به دولومیت‌های دریایی هستند. نمونه‌های کربناتی که توسط رائو و جایاوردان [۱۵] از شرق تاسمانیا مورد بررسی قرار گرفته، نشان می‌دهد که مقدار Sr در کلسیت خالص بدون آراغونیت بین ۷۰۰ تا ۲۷۰۰ پی‌پی‌ام تغییر می‌کند که به علت کانی‌شناسی مخلوط کلسیت HMC و LMC است. بنابراین کاهش از ۲۷۰۰ به ۷۰۰ پی‌پی‌ام به علت افزایش مقدادر کلسیت LMC است زیرا دارای مقدادر پائینی Sr (۱۲۰۰ تا ۱۴۰۰ پی‌پی‌ام) است. رائو و آدابی [۱۶] نشان دادند که مقدار Sr با آراغونیت ارتباط مستقیمی دارد یعنی با افزایش کلسیت Sr کاهش و با افزایش آراغونیت Sr افزایش می‌یابد. آن‌ها همچنین گزارش کردند که روند عمومی کاهش Sr با افزایش عمق آب در کربنات‌های غرب تاسمانیا به علت کاهش مقدادر آراغونیت با افزایش عمق است. مرکز Sr در کربنات‌ها به کانی‌شناسی آن‌ها و عمق آب بستگی دارد، بنابراین مرکز بالای نمونه‌های مورد بررسی به علت کاهش عمق آب، کانی‌شناسی آراغونیتی اولیه آن‌ها و افزایش شوری شاره‌ها دولومیت زاست. علاوه بر این، با توجه به اینکه دولومیت‌های نوع دوم دستخوش تبلور دوباره شدیدی شده‌اند لذا کاهش مقدار Sr در آن‌ها امری عادی است.

کاهشی داشته‌اند، در صورتی که آهن و بهخصوص منگنز روند افزایشی دارند. مقدار دولومیت به سمت پایین از قاعدة ته نشسته‌های بالا کشنده کاهش می‌یابد، زیرا سورابهای که غلظت زیادی دارد از محیط بالا کشنده ریشه می‌گیرد. در مدل نشتی-برگشتی، بلورهای دولومیت به صورت انتخابی جانشین ماتریس میکریتی و قطعات اسکلتی می‌شوند. ساز و کار این مدل شباهت زیادی به مدل سبخا دارد، ولی این مدل به طور معمول برای توضیح دولومیت‌های قدیمی که در مقیاس گسترده‌تر و ضخیم‌تر تشکیل شده و با تبخیری‌ها همراهند به کار برده می‌شود و مستلزم تبخیر آب دریا و تشکیل آبهای شور است که پس از فرونشست از میان لایه‌های ته نشستی لagon و سد عبور کند و منجر به تشکیل دولومیت شود. دولومیت‌های نوع چهارم در مرحله دیاژن دفنی کم عمق طی خارج شدن شاره‌های میان ذره‌ای در اثر تراکم و مهاجرت آن‌ها به سمت بالا تشکیل شده‌اند. ارتباط پاراژنتیکی بین انواع مختلف دولومیت حاکی از این است که این نوع دولومیت (D4) از نظر زمانی آخرین نوع دولومیت تشکیل شده در سازند ساچون است.

با توجه به شکل‌های A-۴ و B-۴ ترسیم مقادیر Sr نسبت به Na و Mn نشان می‌دهد که مقدار Sr با افزایش Mn کاهش و با افزایش Na افزایش می‌یابد.

ضریب توزیع Fe و Mn در کلسیت و دولومیت بیشتر از یک است [۱۷]. از آنجا که مقادیر Fe و Mn در آبهای شیرین بیشتر از آب دریاست، لذا تمرکز این عناصر در دولومیت‌های زون مخلوط و به ویژه در محیط‌های احیایی بیشتر است. در شکل C-۴ تغییرات Fe نسبت به Mn برای نمونه‌های بررسی شده ترسیم شده‌اند.

کانی‌زایی تبخیری

چنانکه یادآوری شد، واحدهای زیرین و بالایی سازند ساچون از ته نشسته‌های تبخیری همراه با میان لایه‌های دولومیتی تشکیل شده است. بر اساس بررسی‌های صحرایی و سنگ-شناختی، ته نشسته‌های تبخیری بیشتر از دو نوع ژیپس تشکیل شده‌اند:

الف) ژیپس توده‌ای و ندولار: این ژیپس‌ها به مقدار زیاد در واحد زیرین و به ضخامتی حدود چند سانتی‌متر تا ده‌ها متر قرار دارد و بیشتر به شکل ندول‌ها در کنار هم قرار گرفته و

آهن و منگنز بر خلاف سدیم و استرانسیم طی دیاژن روند رو به افزایش دارند [۱۴]. با تدبیف دولومیت‌ها و فراهم شدن شرایط احیایی، آهن تمایل بیشتری برای وارد شدن به شبکه دولومیت از خود نشان می‌دهد. در شرایط نزدیک سطح زمین و محیط‌های اکسایشی با آهن به مقدار خیلی کمتری می‌تواند وارد شبکه دولومیت شود. تمرکز آهن در نمونه‌های مورد مطالعه (دولومیت نوع یک) احتمالاً به دلیل حاکم بودن شرایط احیایی است.

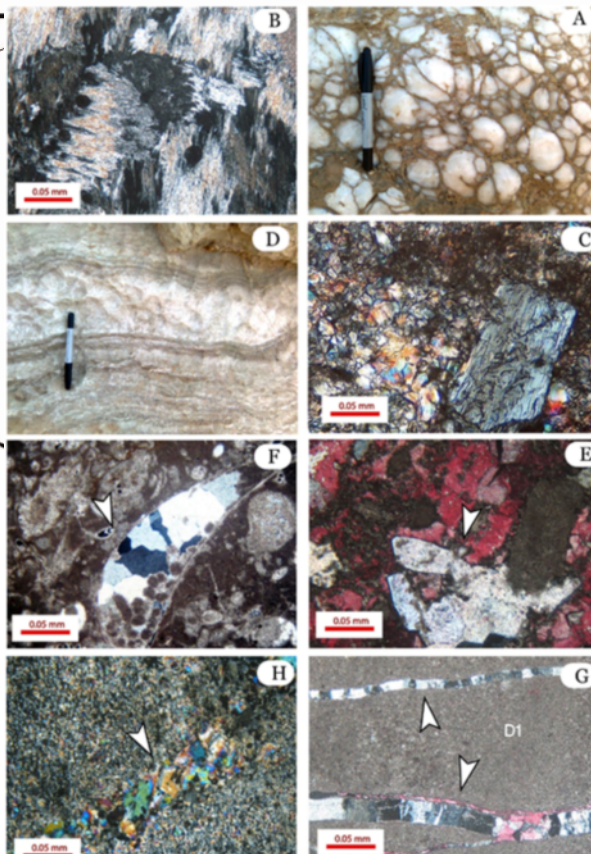
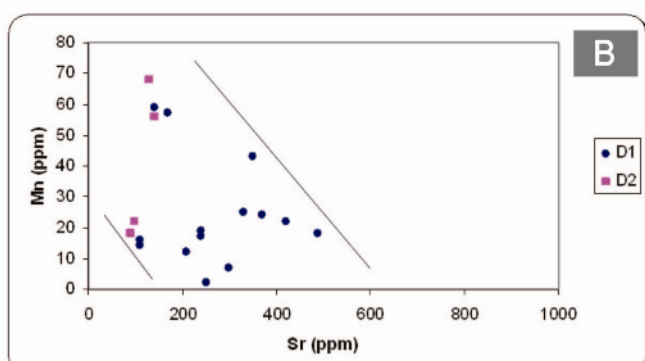
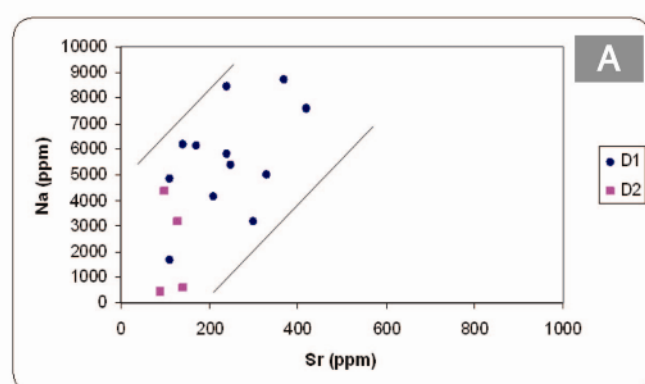
بررسی عناصر شیمیایی در این دولومیت‌ها نشان می‌دهد که با پیشرفت دولومیتی شدن و تبلور مجدد، مقدار Na و Sr روند کاهشی را طی کرده، در صورتی که آهن و بهخصوص منگنز روند تقریباً افزایشی دارند. (البته روند تغییرات منظم نیست). به دلیل پایین بودن مقدار منگنز در این نمونه‌ها (به طور متوسط 55ppm) بررسی مقاطع نازک این نمونه‌ها با میکروسکوپ کاتدولیانی نتایج رضایت‌بخشی را نداشته است. لذا تمامی شواهد سنگ‌شناختی و ژئوشیمیایی بیانگر حاکم بودن شرایط محیط سبخا و سورابهای حاصل از این محیط است که احتمالاً با پیشرفت دیاژن منجر به تبلور مجدد برخی از نمونه‌ها شده است.

با توجه به نتایج سنگ‌شناختی و ژئوشیمیایی مدل‌های سبخا و نشتی-برگشتی برای تشکیل دولومیت‌های سازند ساچون در ناحیه مورد بررسی پیشنهاد می‌شود. دولومیت‌های نوع اول، با توجه به بافت و اندازه خیلی ریز بلورها، وجود ذرات پراکنده کوارتز در حد سیلت، لامیناسیون، عدم وجود فسیل و فراوانی ندول‌های تبخیری، بالا بودن مقادیر Na، Mg و Sr، پایین بودن نسبی مقادیر Mn و Fe، احتمالاً تحت شرایط سطحی، دمای پایین و در محیط‌های بالا کشنده تا بخش بالای میا کشنده و در شرایط سبخا تشکیل شده‌اند.

دولومیت‌های نوع دوم و سوم دولومیت‌هایی هستند که بلورهای نسبتاً درشت‌تری دارند و در ته‌نشسته‌های کم کشنده و میان کشنده بلافاصله در زیر دولومیت‌های اولیه منطقه سبخا تشکیل شده‌اند. دولومیت‌های نوع دوم، با توجه به شواهد سنگ‌شناختی و ژئوشیمیایی، حاصل تبلور مجدد دولومیت‌های نوع اول هستند. بررسی عناصر شیمیایی در این دولومیت‌ها نشان می‌دهد که با پیشرفت دولومیتی شدن و تبلور مجدد مقدار Sr و Na در دولومیت نوع دوم نسبت به نوع یک، روند

۵، B). ژیپس‌های پورفیروبلاستیک معمولاً بلورهای کوچک و بزرگی را تشکیل می‌دهند که بیشتر دارای کناره‌های در هم قفل شده‌اند (شکل ۵، C) [۱۸]. به علاوه، رگه‌هایی که طی فرایند آبگیری بین ژیپس‌های سازند ساچون تشکیل می‌شوند بسیار فراوان و بیشتر با ژیپس ساتین - اسپار پر شده‌اند (شکل ۵، D).

فسرده شده‌اند. برخوردگاه بین ندول‌ها با ساتین - اسپار سیمانی شده‌است. در بیشتر موارد فضای بین ندول‌ها را دولومیت پر می‌کند (شکل ۵، A). در زیر میکروسکوپ ندول‌ها بیشتر با بافت آلاماستری و پورفیروبلاستی به همراه آثار باقیمانده از بلورهای اندیزیتی است. بافت آلاماستری به صورت شبیه با خاموشی موجی نامنظم زیر میکروسکوپ دیده می‌شود (شکل ۵، D).



عناصر در دولومیت‌های نوع یک استرانسیم و سدیم با روند مثبت. استرانسیم و منگنز با روند منفی. منگنز با روند مثبت.

شکل ۴ نمودارهای تغییرات مقدار عناصر (D₁) و نوع دو (D₂).
A- تغییرات مقدار عناصر
B- تغییرات مقدار عناصر
C- تغییرات مقدار عناصر آهن و

شکل ۵ اشكال مختلف تبخیری‌های موجود در سازند ساچون.

A- نمایی از بخش پایینی بخش بالایی که بیشتر از ژیپس‌های نودولار و توده‌ای با میان لایه‌های دولومیتی تشکیل شده است. B- ژیپس با بافت الابستری و به صورت فراغیر در دولومیت نوع یک (D1). C- ژیپس با بافت پورفیروبلاستی در دولومیت نوع یک (D1). D- تصویری از ضخامت زیاد و لامیناسیون ژیپس لایه‌ای. E- ژیپس‌های فراغیر که در اثر جانشینی اnidritی ایجاد شده است (فلش) (قطع با محلول آلیزارین رنگ آمیزی شده است). F- ژیپس پر کننده در فضاهای خالی جلبک سبز (فابریک ژئوپتال) (فلش). G- رگه‌های ژیپس ساتین - اسپار (فلش) در دولومیت نوع یک (D1) (قطع با محلول آلیزارین رنگ آمیزی شده است)، H- رگه‌های ژیپس ساتین - اسپار موجود در ژیپس (فلش)

تبخیری‌ها ته نشسته‌های هستند که مشکل به توان آن‌ها را در تفسیر محیط‌های تهنشستی مورد استفاده قرار داد، زیرا بافت‌های اولیه در اثر تبلور دوباره و جانشینی طی دیاژنز پیشین، پسین و حتی حین تهنشستی تغییر شکل می‌دهند [۲۱-۲۳].

بر پایه مشاهدات صحرایی و سنگ‌شناختی، تبخیری‌های سازند ساچون، بیشتر ثانویه هستند. از مهم‌ترین ویژگی‌های ژیپس‌های ثانویه، بافت آلابستری و پورفیروبلاستی به همراه آثار باقیمانده از بلورهای اnidrit است. ژیپس ساتین-اسپار در نتیجه افزایش حجم به وجود می‌آید که این خود تایید کننده تغییر شکل از اnidrit است به ژیپس است [۲۴-۲۷].

ژیپس و اnidrit دیاژنزی عموماً با دولومیتی شدن همراه‌اند و بیشتر در مخازن دولومیتی، به چهار شکل فراغیر، پرکننده حفره‌ها، شکل‌های دروغین و ژیپس‌های میکرون‌دولار

ب) ژیپس برگه‌ای: این نوع ژیپس به شکل لایه‌های ادامه دار با ضخامت چند سانتی‌متر تا ده‌ها متر در سازند ساچون یافت می‌شود که به شکل ژیپس از آبهای خیلی سور تهنشستین، و سپس به اnidrit تبدیل شده‌اند. این شکل از اnidrit ممکن است به صورت برگه‌ای یا ندولهایی به هم پیوسته باشد (شکل ۵). این تبخیری‌ها بیشتر در تنابوب با مارن‌های سرخ، شیل-

های ژیپس‌دار و مادستون‌های استروماتولیتی هستند. دولومیتی شدن، در نتیجه بالا بودن نسبت Mg/Ca ، عموماً با تهنشستی ژیپس همراه است، و این فرایند، یون‌های کلسیم را برای ته نشستی بیشتر ژیپس آزاد می‌کند. چنانچه تبخیر به اندازه کافی شدید باشد (همانند سواحل جنوبی خلیج فارس)، آنگاه با افزایش غلظت شاره‌های درون حفره‌ای در سطح سبخاهای بلورهای ژیپس با بلورهای خیلی ریز هم بعد و با شکل نازک و کشیده اnidrit جانشین می‌شود [۱۹، ۲۰].

دولومیت‌های نوع اول هستند. دولومیت‌های نوع چهارم در مرحلهٔ دیاژنر دفنی کم عمق طی خارج شدن شاره‌های میان‌ذره‌ای در اثر تراکم و مهاجرت آن‌ها به سمت بالا تشکیل شده‌اند. زیرا در محیط دفنی کم عمق انحلال کانی‌های ناپایدار بویژهٔ تبخیری‌ها، کلسیت پر منیزیم و دولومیت‌های قبلی در راستای رگه‌های انحلالی باعث به وجود آمدن آبگون‌های غنی از منیزیم شده که در درون شکافها و حفره‌ها وارد شده، و به صورت سیمان یا جانشینی دولومیت نوع یک و یا نوع دوم، حفره‌ها را پر کرده است.

براساس بررسی‌های صحرایی و سنگ‌شناختی دو نوع ژیپس توده‌ای - ندولار و لامینه‌ای قابل تشخیص است. به علاوهٔ ژیپس‌های فراغیر، میکرون‌نдолار، پر کنندهٔ فضای خالی (ساتین-اسپار) و به شکل‌های دروغین، نیز از دیگر شکل‌های مشاهده شده هستند. نهشته‌های تبخیری سازند ساچون، بیشتر ثانویه‌اند که از مهم‌ترین ویژگی‌های آن‌ها داشتن بافت‌های آلاbastri و پورفیروblastی همراه با آثار باقیمانده از بلورهای اندیزیت است.

مراجع

- [۱] امیری بختیار ح، شمیرانی ا، صادقی ع، آدابی م.ح، وزیری مقدم ح، "بازنگری مرز بین سازنده‌های تاربور و ساچون در کوه ساچون"، جنوب داراب فارس (محل برش الگوی سازند ساچون)، مجله علوم زمین، فصل نامه شماره ۱۶، ۱۳۸۵، نشریه دانشکده علوم زمین، دانشگاه شهید بهشتی.
- [۲] Dickson J.A.D., "Carbonate identification and genesis as revealed by staining. Journal Sedimentary Petroleum", 1966, 36: p. 491-505.
- [۳] Hood S.D., Nelson C. S., Kamp P.J., "Burial dolomitization in a non-tropical carbonate petroleum reservoir: the Oligocene Tikorangi Formation", Taranaki Basin, New Zealand, Sedimentary Geology, 2004. 172: p. 117-138.
- [۴] Mazzullo S.J., "Organogenic dolomitization in pritidal to deep sea sediments. Journal of Sedimentary Research", 2000, 70: p. 10-23.
- [۵] Sibley D.F., Greeg J.M., "Classification of dolomite rock Textures. Journal of Sedimentary Petroleum", 1987, 57: p. 967-975.
- [۶] Al-Aasm I.S., "Chemical and Isotopic constrains for recrystallization of Sedimentary Dolomites from the West Canada Sedimentary basin" Aquatic Geochemistry, 2000, 6: p. 227-248.
- [۷] Adabi M.H., "Petrography and geochemical criteria for recognition of unaltered cold water and diagenetically altered neomorphic dolomite. Western Tasmania", Australia, 16th AGC, 2002: p. 350.

دیده می‌شوند [۲۸] که در تبخیری‌های سازند ساچون به خوبی قابل مشاهده و تفکیک‌اند: اندیزیت فراغیر به صورت بلورهای بزرگ همراه با نفوذی‌های دولومیتی است و اغلب بی‌قاعده در زمینهٔ مادستون و دولوستون به صورت پراکنده مشاهده می‌شود (شکل ۵، E). ژیپس پر کنندهٔ فضاهای خالی (ساتین-اسپار)، به صورت انتخابی فضاهای خالی در رخساره داسی کلادا پکستون (شکل ۵، F) و به فرم رگه‌ای که طی فرایند آبگیری ایجاد می‌شوند، در دولومیت نوع یک سازند ساچون بسیار معمول است (شکل ۵، H&G). شکل‌های دروغین ژیپس به شکل توده‌های ریزبلور، در دولوستون فراوان یافت می‌شود (شکل ۲، E) که معمولاً در اثر جانشینی ژیپس و اندیزیت ایجاد شده است. ژیپس‌های میکرو ندولار با شکل‌های کروی تا دایره‌ای، بی‌قاعده در زمینه‌ای از دولومیت نوع یک پراکنده است (شکل ۲، F). بیشتر ندول‌ها دارای بافت آلاbastri و پورفیروblastی همراه با آثار باقیمانده از بلورهای اندیزیت‌اند. ندول‌ها معمولاً درصد بالایی از حجم توده سنگ را اشغال کرده و اندازه آن‌ها بین ۰/۵ تا ۰/۱ میلیمتر در تغییر است.

برداشت

سازند ساچون در بخش زیرین با تنهشته‌های تبخیری همراه با میان لایه‌های نازک دولومیت شروع شده و به سنگ آهک‌های کرم رنگ متوسط لایه و سپس تبخیری‌های بخش بالایی ختم می‌شود. بخش میانی این سازند در برش الگو به شدت دولومیتی شده است. بررسی‌های سنگ‌شناختی و ژئوشیمیائی منجر به شناسایی چهار نوع دولومیت شده است.

دولومیت نوع اول، با توجه به بافت و اندازهٔ خیلی ریز بلورهای وجود ذرات پراکنده کوارتر در اندازهٔ سیلت، لامیناسیون، عدم وجود فسیل و فراوانی ندول‌های تبخیری، بالا بودن مقادیر Fe, Mn و پایین بودن نسبی مقادیر Mg, Sr, Na می‌رسد که تحت شرایط سطحی، دمای پایین و در محیط‌های بالای کشنیدی تا بخش بالایی میان کشنیدی در شرایط سبک تشکیل شده‌اند.

دولومیت‌های نوع دوم و سوم بلورهای نسبتاً درشت‌تری دارند و در تنهشته‌های زیر کشنیدی و میان کشنیدی بلافلاصله زیر دولومیت‌های اولیه منطقه سبک‌تر شده‌اند. در محیط دفنی کم عمق، دولومیت نوع اول دستخوش تبلور دوباره شده، بلورها درشت‌تر شده و برخوردگاه نامنظم به خود گرفته و نوع دوم را تشکیل می‌دهد. بنابراین دولومیت‌های نوع دوم، با توجه به شواهد سنگ‌شناختی و ژئوشیمیائی، حاصل تبلور دوباره

- Formation, SW Sivas Basin, Turkey. *Journal of Asian Earth Sciences*, 2005, 25 p. 791-803.
- [19] Alsharhan, A.S., and Kendall, C.G.ST.C., Holocene coastal carbonates and evaporites of the southern Arabian Gulf and their ancient analogues *Earth Science Review*, 2003. 61: p. 191-243.
- [20] Alssaran, N.A., Origin and geochemical reaction path of sabkha brine: Sabkha Jayb Uwayyid, eastern Saudi Arabia *Arabian Journal of Geosciences*, 2008. 1: p. 63-74.
- [21] Warren, J., Evaporate, their evolution and economics. 1999: Black-Well Science Publ. 438.
- [22] Rubio, E.S., Sanchez-Moral, S., Canaaveras, J.C., Calvo, J.P., and Rouchy, J.M., Calcitization of Mg-Ca carbonate and Ca sulphate deposits in a continental Tertiary basin (Calatayud Basin, NE Spain). *Sedimentary Geology*, 2001. 140: p. 123-142.
- [23] Playa, E., and Gimeno, D., Evaporate deposition and coeval volcanism in the Fortuna Basin (Neogene, Murcia, Spain) *Sedimentary Geology*, 2006. 188-189(205-218).
- [24] Testa, G., and Lugli, S., Gypsum-anhydrite transformations in Messinian evaporates of central Tuscany (Italy). *Sedimentary Geology*, 2000, 130: p. 249-268.
- [25] Orszag-Sperber F., Plaziat J.C., Baltzer F., Purser B.H., "Gypsum salina-coral reef relationships during the Last Interglacial (Marine Isotopic Stage 5e) on the Egyptian Red Sea coast: a Quaternary analogue for Neogene marginal evaporates", *Sedimentary Geology*, 2001. 140: p. 61-85.
- [26] Kasprzyk A., "Sedimentological and diagenetic patterns of anhydrite deposits in the Badenian evaporate basin of the Carpathian Fore deep", southern Poland. *Sedimentary Geology*, 2003, 158: p. 167-194.
- [27] El Khoriby E.M., "Origin of the gypsum-rich silica nodules", Moghra Formation, Northwest Qattara depression, Western Desert, Egypt. *Sedimentary Geology*, 2005, 177: p. 41-55.
- [28] Lucia F.J., "Rock-fabric/petrophysical classification of carbonate pore space for reservoir characterization". American Association of Petroleum Geologists Bulletin, 1995, 79, no. 9: p. 1275-1300.
- [8] Mahboubi A., Moussavi-Harami R., Brenner R.L., Gonzalez L.A., "Diagenetic history of late Paleocene potential carbonate Reservoir Rocks", Kopet-Dagh basin, NE Iran, . *Journal of petroleum Geology*, 2002, 25: p. 465-484.
- [9] Mahboubi A., Moussavi-Harami R., Yahya-Sheibani V., Najafi M., Gonzalez L., "Petrography and Geochemical Evidence for Paragenetic Sequence Interpretation of the Lower Cretaceous Limestone in the Eastern Binalood Mountain Range", NE Iran. *Iranian international Journal of Science*, 2004. 5 (2): p. 181-201.
- [10] Sass E., Bein A., "Dolomites and salinity: a comparative geochemical study. In: Shukla, V. and Baker", P.A. (eds.): *Sedimentology and geochemistry of dolostones. Economic Paleontologists and Mineralogists, Special Publication*, 1988, 43: p. 223-233.
- [11] Rao C.P., "Elemental composition of marine calcite from modern temperate shelf brachiopods", bryozoans and bulk carbonates, eastern Tasmania, Australia. *Carbonates and Evaporate*, 1996 11(1-18).
- [12] Allan j.R., Wiggins W.D., "Dolomite reservoir: geochemical techniques for evaluating origin and distribution". American Association of Petroleum Geologists Containing Education Course Notes Series, 1993, 36: p. 136.
- [13] Al-Assam I.S., Pakard J. J., "Stabilization of early-formed dolomite", relate of divergence from two Mississippian dolomites. *Sedimentary Geology*, 2000, 131: p. 97-108.
- [14] Tuker M.E., Wright V.P., "Carbonate Sedimentology. 1990: Black-Well", Oxford. 482.
- [15] Rao C.P., Jayawardane M.P.J., "Major minerals, elemental and isotopic composition in modern temperate shelf carbonates", eastern tasmania, Australia: Implications for the occurrence of extensive ancient non-tropical carbonates. *Palaeogeogr. Palaeoclimatol. Palaeoecol.*, 1994, 107: p. 49-63.
- [16] Rao C.P., Adabi M.H., "Carbonate minerals, major and minor elements and oxygen and carbon isotopes and their variation with water depth in cool", temperate carbonates, western Tasmania, Australia: Mar. Geology, 1993. 103: p. 249-272.
- [17] Vizer J., "Depositional and diagenetic history of limestone, in Isotopic signatures and sedimentary records N. Clauer and S. Chaudhuri", Editors. 1992, Springer Berlin / Heidelberg. p. 13-48.
- [18] Gundogana, I., Onalb, M., and Depc, T., Sedimentology, petrography and diagenesis of Eocene-Oligocene evaporates: the Tuzhisar